

(Definition von interner, externer, Extraktions- und Leistungseffizienz)

Interne Quantum Effizienz

$$\eta_{\text{int}} = \frac{\text{\# der Photonen emittiert von Fläche pro Sekunde}}{\text{\# der Elektronen injiziert in die LED pro Sekunde}} = \frac{P_{\text{int}} / \hbar\omega}{I/e}$$

Extraktionseffizienz

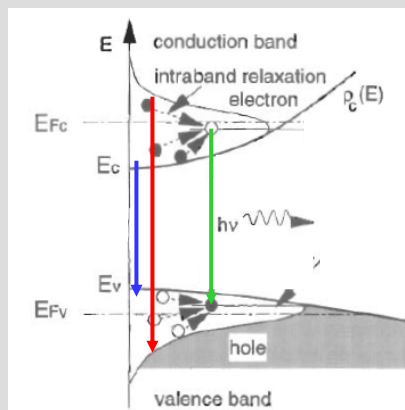
$$\eta_{\text{ext}} = \frac{\text{\# der Photonen emittiert in den freien Raum pro Sekunde}}{\text{\# der Photonen emittiert von Fläche pro Sekunde}} = \frac{P / \hbar\omega}{P_{\text{int}} / \hbar\omega}$$

Externe Quantum Effizienz

$$\eta_{\text{ext}} = \frac{\text{\# der Photonen emittiert in den freien Raum pro Sekunde}}{\text{\# der Elektronen injiziert in die LED pro Sekunde}} = \frac{P / \hbar\omega}{I/e} = \eta_{\text{int}} \cdot \eta_{\text{Extraktion}}$$

Leistungseffizienz

$$\eta_{\text{int}} = \frac{\text{optische Leistung}}{\text{elektrische Leistung}} = \frac{P}{I \cdot V}$$



Energie maximaler Intensität:

$$E_{\text{max}} = \frac{1}{2} \cdot k_B T$$

Linienbreite einer LED

$$\Delta E = 1.8 \cdot kT \text{ oder } \Delta \lambda = \frac{1.8 \cdot kT \cdot \lambda^2}{hc}$$

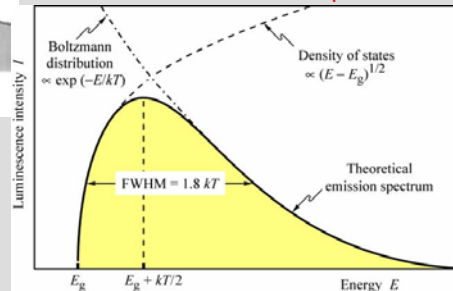
Zusammenhang zw. Photonenenergie und Elektronen- bzw. Löcherenergien:

$$\hbar\omega - E_g = \frac{\hbar^2 k^2}{2} \cdot \left[\frac{1}{m_e^*} + \frac{1}{m_h^*} \right] = \frac{\hbar^2 k^2}{2 \cdot m_r^*}$$

Joint density of states

$$N_{CV}(\hbar\omega) = \sqrt{2} \frac{(m_r^*)^{3/2} \cdot (\hbar\omega - E_g)^{1/2}}{\pi^2 \hbar^3}$$

Theoretische Emissionsspektrum



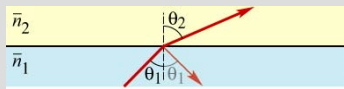
Die 3 hauptsächlichsten Verlustmechanismen für emittierende Photonen sind:

- Reabsorption des Photons und damit Erzeugung eines e-h Paares
- Reflexion an der Halbleiter – Luft Grenzfläche
- Totalreflexion für Photonen mit Einfallswinkel größer als der kritische Winkel

ad a) Um die Absorption zu verringern ist es notwendig, daß die Emission nahe der Oberfläche erfolgt ($\alpha \sim 10^4 - 10^5 \text{cm}^{-1}$)

$$I(x) = I_0 \cdot \exp(-\alpha \cdot x)$$

ad b) Photonen, die es schaffen zur Oberfläche vorzudringen, erleiden dort Reflexion.



apl.Prof. Dr. D.J. As

Für senkrechte und parallele Polarisationsrichtung und den Einfallswinkel α und Brechungswinkel β gilt für den Reflexionskoeffizient der Intensität:

$$R_s = \left(\frac{n_1 \cos \alpha - n_2 \cos \beta}{n_1 \cos \alpha + n_2 \cos \beta} \right)^2 \quad R_p = \left(\frac{n_2 \cos \alpha - n_1 \cos \beta}{n_2 \cos \alpha + n_1 \cos \beta} \right)^2$$

Für $\alpha=0$ (also senkrechter Einfallswinkel) gilt für beide Polarisationen:

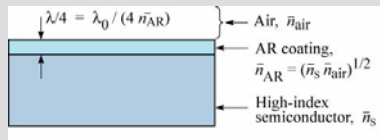
$$R(\alpha=0) = \left(\frac{n_1 - n_2}{n_1 + n_2} \right)^2$$

Die Fresnelverluste aufgrund der Reflexion können ganz beachtlich sein:
z.B. für GaAs: mit $n_{\text{GaAs}} = 3.66$ und $n_{\text{Luft}} = 1$ wird für senkrechten Einfall $R=0.33$, d.h. 33% der Photonen werden reflektiert und kommen nicht heraus.

→ Einfügen von Zwischenschichten als Antireflectionsschicht

apl.Prof. Dr. D.J. As

Für senkrechten Einfall unter zu Hilfenahme der Wellennatur des Lichts kann durch Einfügen einer Zwischenschicht bei folgenden Bedingungen für die Wellenlänge λ **Antireflexion** erreicht werden:



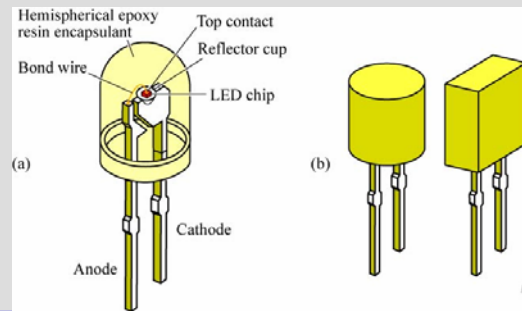
Schichtdicke:

$$\frac{\lambda}{4} = \frac{\lambda_0}{4 \cdot n_{AR}}$$

Brechungsindex:

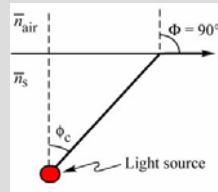
$$n_{AR} = \sqrt{n_s \cdot n_{Luft}}$$

Vollständige Einkapselung des Bauelements in Epoxieharz



apl.Prof. Dr. D.J. As

ad c) Schließlich haben wir noch Verluste aufgrund der **Totalreflexion**.



Fällt Licht auf eine Oberfläche aus einem Bereich eines hohen Brechungsindex ($n_2 > n_1$) (d.h. aus optisch dichterem Medium) so wird es total reflektiert wenn der Einfallswinkel größer als ein **kritischer Winkel** Θ_c ist.

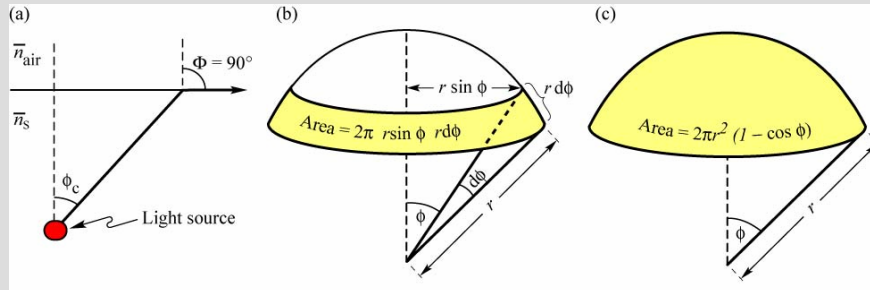
$$\Theta_c = \arcsin\left(\frac{n_1}{n_2}\right)$$

Für GaAs-Luft Oberfläche ist der kritische Winkel damit $\Theta_c = 15.9^\circ$

Auch dieser Effekt kann durch Einkapselung wieder stark unterdrückt werden.

apl.Prof. Dr. D.J. As

Definition des Austrittskegels durch den kritischen Winkel Θ_c



Da der Brechungsindex der Halbleiter sehr hoch ist, kann für Θ_c folgende Näherung gemacht werden:

$$\Theta_c = \arcsin\left(\frac{n_1}{n_2}\right) \approx \frac{n_{Luft}}{n_s}$$

Als nächstes berechnen wir die Oberfläche des sphärischen Kegels, die durch folgendes Integral gegeben ist

$$A = \int dA = \int_0^{\Theta_c} 2\pi r \sin \theta r d\theta = 2\pi r^2 (1 - \cos \Theta_c)$$

Für das Licht einer punktförmigen Quelle mit einer gesamten Leistung P_{source} ist dann die austretende Leistung P_{escape}

$$P_{escape} = P_{source} \cdot \frac{2\pi r^2 (1 - \cos \Theta_c)}{4\pi r^2}$$

Damit wird klar, dass nur ein Bruchteil des Lichts das innerhalb einer Halbleiters emittiert wird, aus dem Halbleiter austreten kann, nämlich

$$\frac{P_{escape}}{P_{source}} = \frac{1}{2}(1 - \cos \Theta_c) \approx \frac{1}{2} \left[1 - \left(1 - \frac{\Theta_c^2}{2} \right) \right] = \frac{1}{4} \Theta_c^2 = \frac{1}{4} \cdot \frac{n_{Luft}^2}{n_s^2}$$

Das Austrittsproblem ist für hocheffiziente LED sehr wichtig.

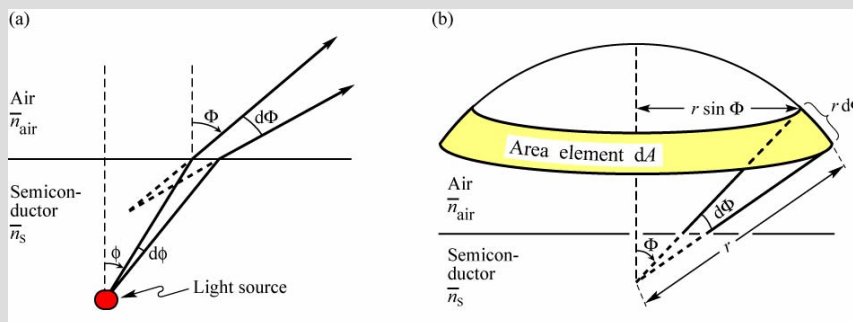
	n_s	Θ_c	escaped Light
GaAs	3.4	17.1°	2.21%
GaN	2.5	23.6°	4.18%
Polymer	1.5	41.8°	12.7%

Das Problem ist weniger signifikant für Halbleiter mit kleinen Brechungsindex. Bei GaAs kann durch Polymereinkapselung eine Verbesserung von ca. 232 % erreicht werden

LEDs haben ein bestimmtes Abstrahl- oder Fernfeldmuster. Die Intensität in W/cm^2 gemessen, hängt von dem Längswinkel und Azimutwinkel und von der Entfernung von der LED ab. Die gesamte emittierte optische Leistung einer LED wird durch Integration über die Kugeloberfläche erhalten.

$$P = \int \int I(\lambda) d\lambda dA$$

Mit $I(\lambda)$ der spektralen Lichtintensität (gemessen in $W/(nm \text{ cm}^2)$) und A der Oberfläche der Kugel.



Mit Hilfe des Snellius Gesetzes ($n_s \sin \phi \sim n_s \phi = n_{Luft} \sin \Phi$) emittiert in ein Winkelement $d\Phi$ in Luft

$$d\Phi = \frac{n_s}{n_{Luft}} \frac{1}{\cos \Phi} d\phi$$

Erhaltung der Leistung erfordert:

$$I_S dA_S = I_{Luft} dA_{Luft}$$

Mit I_S und I_{Luft} den Lichtintensitäten im Halbleiter und an Luft (gemessen in W/m^2)

Das Flächenelement in der Luft

$$dA_{Luft} = 2\pi r \sin \Phi \cdot r d\Phi = 2\pi r^2 \frac{n_s^2}{n_{Luft}^2} \frac{1}{\cos \Phi} \phi d\phi$$

Und analog dem Flächenelement im Halbleiter:

$$dA_s = 2\pi r \sin \phi \cdot r d\phi \approx 2\pi r^2 \phi d\phi$$

Die Lichtintensität im Halbleiter in einer Entfernung von r ist die Gesamtquellenleistung geteilt durch die Oberfläche der Kugel mit dem Radius r

$$I_s = \frac{P_{Source}}{4\pi r^2}$$

Für die Lichtintensität in Luft ergibt sich dann das Lambert'sche Emissionsmuster zu:

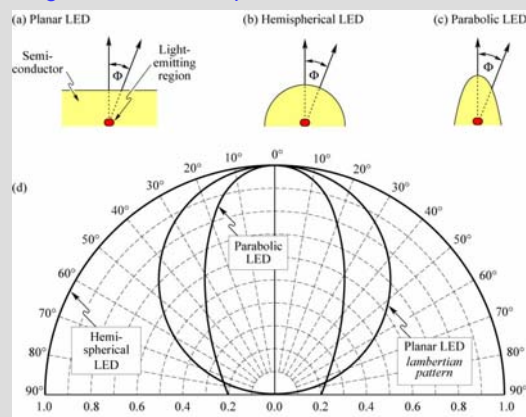
$$I_{Luft} = \frac{P_{Source}}{4\pi r^2} \frac{n_{Luft}^2}{n_s^2} \cos \Phi$$

Das Lambert'sche Emissionsmuster hat eine Kosinus Φ Abhängigkeit

apl.Prof. Dr. D.J. As

Einfluss der Oberflächen auf Abstrahlcharakteristik

Einige andere Oberflächenformen und ihre Abstrahlcharakteristika sind unten dargestellt. Ein isotropes Emissionsmuster erhält man für hemisphärische Form.



Die gesamte in Luft emittierte Leistung ist damit

$$P_{Luft} = \int_{\Phi=0}^{90^\circ} I_{Luft} 2\pi r \sin \Phi r d\Phi$$

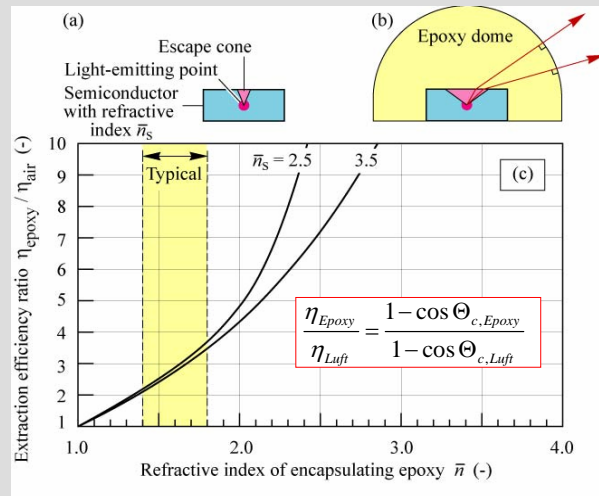
Für eine Lambert'sches Emissionsmuster und mit $\cos \Phi \sin \Phi = 1/2 \sin(2\Phi)$ kann das Integral berechnet werden und ergibt

$$P_{Luft} = \frac{P_{source}}{4} \cdot \frac{n_{Luft}^2}{n_s^2}$$

Unter Berücksichtigung von zusätzlichen Fresnel Reflexionen an der Grenzfläche ergibt sich für die Leistungstransmittanz

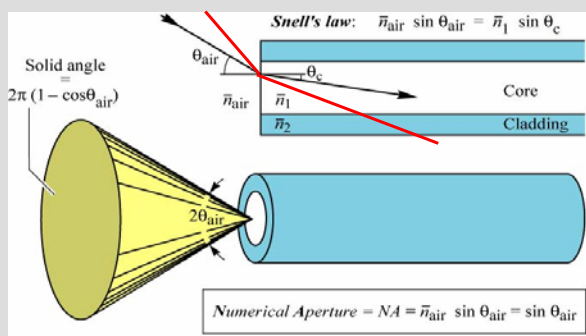
$$T = 1 - R = 1 - \left(\frac{n_s - n_{Luft}}{n_s + n_{Luft}} \right)^2 = P_{Luft} = \frac{4 \cdot n_s n_{Luft}}{(n_s + n_{Luft})^2}$$

apl.Prof. Dr. D.J. As



Die Lichtextraktionseffizienz kann durch eine domförmige Einkapselung mit einem Material mit großem Brechungsindex erhöht werden. Typische Brechungsindizes von Epoxyharze sind zwischen 1.4 und 1.8. Fortschrittliche Einkapselungen haben auch graded-index Einkapselungen.

apl.Prof. Dr. D.J. As



wobei für $n_1 \sim n_2$ gilt, dass

$$NA = n_1 \cdot \sqrt{2\Delta}$$

$$\Delta = \frac{n_1 - n_2}{n_1}$$

Akzeptanzwinkel Θ_A : $\Theta_A = \arcsin(\sqrt{n_1^2 - n_2^2}) = \arcsin(NA)$

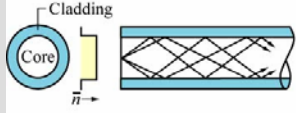
Der Lichtakzeptanzwinkel in Luft ist 11.5° für eine numerische Apertur von $NA=0.2$

Einkoppeleffizienz η_{Faser} in Faser:

$$\eta_{Faser} = \frac{\int_0^{\Theta_A} I_{ph}(\Theta) \cdot \sin \Theta d\Theta}{\int_0^{\pi/2} I_{ph}(\Theta) \cdot \sin \Theta d\Theta} = \sin^2 \Theta_A \sim 0.29$$

apl.Prof. Dr. D.J. As

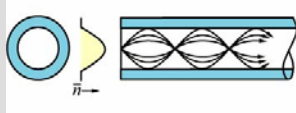
(a) **Step-index multimode fiber**
Simple coupling; large modal dispersion



Cladding
Core
 n_1

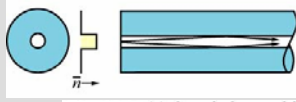
Typical diameters and refractive indices
Core/cladding diameter 62.5/125, 100/140, ... , 1000/1200 μm
Core index 1.45
Index difference 1% – 2%

(b) **Parabolically-graded-index multimode fiber**
Simple coupling; difficult fabrication; low or zero modal dispersion



Core/cladding diameter 50/125, 62.5/125, 85/125
Core index at center 1.45
Index difference 1% – 2% in graded index profile

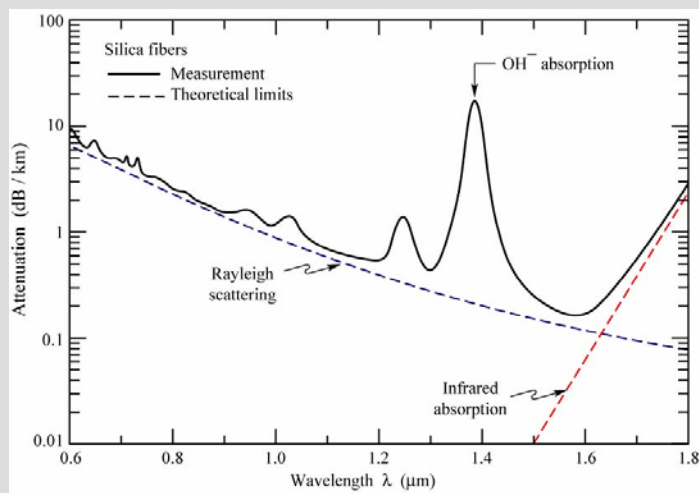
(c) **Step-index single-mode fiber**
Difficult coupling; difficult fabrication; no modal dispersion



Core/cladding diameter 9/125
Core index 1.45
Index difference 1% – 2%

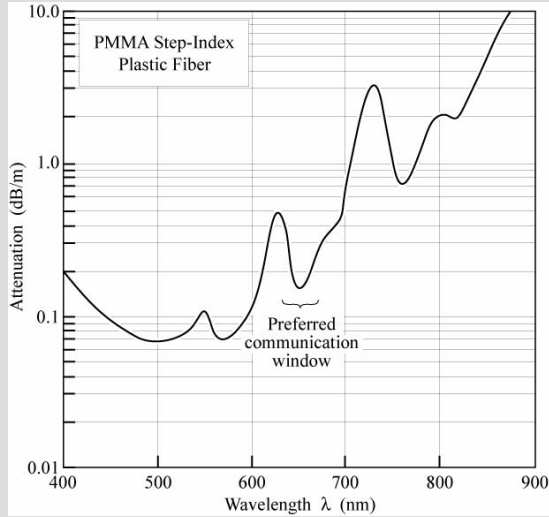
(a) Step-index multimode fibers allow for the propagation of several optical modes. (b) Parabolically graded-index multimode fibers allow for the propagation of several modes with similar propagation constant. Graded-index multimode fibers have a lower modal dispersion than step-index multimode fibers. (c) Step-index single-mode fibers have a small core diameter and no modal dispersion.

apl.Prof. Dr. D.J. As

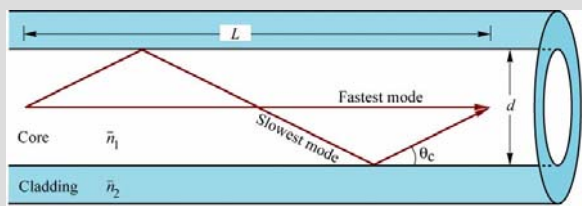


Measured attenuation in silica fibers (solid line) and theoretical limits (dashed lines) given by Rayleigh scattering in the short-wavelength region, and by molecular vibrations (infrared absorption) in the infrared spectral region.

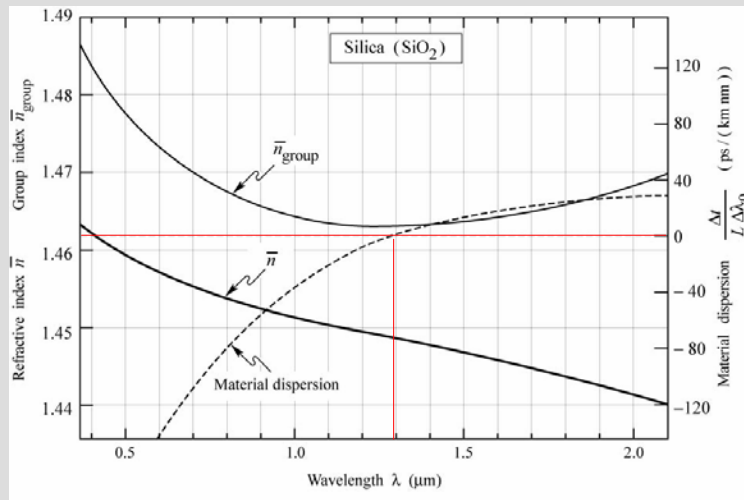
apl.Prof. Dr. D.J. As



Attenuation of a PMMA step-index plastic optical fiber. At 650 nm, the preferred communication wavelength, the attenuation is about 150 dB/km (after data sheet of Toray Industries Ltd., 2002).

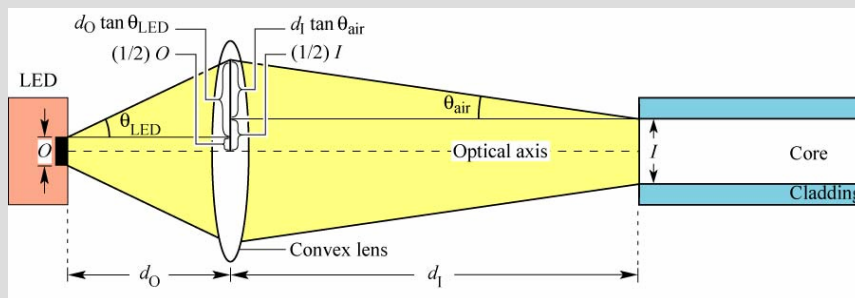


Geometry used for calculation of the modal dispersion in a multimode fiber waveguide.



Refractive index, group index, and material dispersion of a silica fibers for an optical signal spectral width $\Delta\lambda_0$ in vacuum. The material dispersion of regular silica fibers is zero at $\lambda = 1.3 \mu\text{m}$.

apl.Prof. Dr. D.J. As



Schematic illustration of coupling with a lens by imaging the light-emitting region of an LED onto the core of an optical fiber. The LED has a circular emission region with diameter O (Object). The emission region is imaged onto the fiber core with diameter I (Image) using a convex lens with focal length f .

apl.Prof. Dr. D.J. As